



Министерство науки и высшего образования Российской Федерации  
Федеральное государственное бюджетное образовательное учреждение  
высшего образования  
«Московский государственный технический университет  
имени Н. Э. Баумана  
(национальный исследовательский университет)»  
(МГТУ им. Н. Э. Баумана)

ФАКУЛЬТЕТ \_\_\_\_\_ Фундаментальные науки

КАФЕДРА \_\_\_\_\_ Прикладная математика

РАСЧЕТНО-ПОЯСНИТЕЛЬНАЯ ЗАПИСКА  
*К КУРСОВОЙ РАБОТЕ*  
*НА ТЕМУ:*

*Численное моделирование  
напряженно-деформированного состояния  
упругого основания с покрытием*

Студент \_\_\_\_\_  
ФН2-62Б  
(Группа)

\_\_\_\_\_  
(Подпись, дата)

А. А. Кононенко  
\_\_\_\_\_  
(И. О. Фамилия)

Руководитель курсовой работы

\_\_\_\_\_  
(Подпись, дата)

К. Е. Казаков  
\_\_\_\_\_  
(И. О. Фамилия)

2022 г.

## Оглавление

<b>Введение</b> . . . . .	<b>3</b>
<b>1. Построение системы</b> . . . . .	<b>4</b>
1.1. Вывод дифференциальных уравнений . . . . .	4
1.2. Задание граничных условий . . . . .	5
<b>2. Преобразование системы, получение разностной схемы</b> . . . . .	<b>6</b>
2.1. Визуализация результатов . . . . .	11
<b>Список использованных источников</b> . . . . .	<b>14</b>

## Введение

В упругий слой, лежащий на недеформируемом основании, вдавлируется кольцевой жесткий штамп с плоским основанием. Необходимо определить напряжения, деформации и перемещения точек слоя в предположении, что деформации малы. Исследовать напряженно-деформированное состояние слоя при заданных параметрах.

# 1. Построение системы

## 1.1. Вывод дифференциальных уравнений

Запишем уравнения равновесия в цилиндрической системе координат:

$$\begin{cases} \frac{\partial \sigma_r}{\partial r} + \frac{\partial \tau_{rz}}{\partial z} + \frac{\sigma_r - \sigma_\theta}{r} = 0, \\ \frac{\partial \tau_{rz}}{\partial r} + \frac{\partial \sigma_z}{\partial z} + \frac{\tau_{rz}}{r} = 0, \end{cases} \quad (1)$$

где  $\tau_{rz}$ ,  $\sigma_r$ ,  $\sigma_z$ ,  $\sigma_\theta$  — компоненты напряжений.

Деформации задаются кинематическими соотношениями:

$$\begin{cases} \epsilon_r = \frac{\partial u}{\partial r}, \\ \epsilon_\theta = \frac{u}{r}, \\ \epsilon_z = \frac{\partial w}{\partial z}, \\ \epsilon_{rz} = \frac{1}{2} \left( \frac{\partial u}{\partial z} + \frac{\partial w}{\partial r} \right), \end{cases} \quad (2)$$

где  $u$  — горизонтальная составляющая вектора перемещений,  $w$  — вертикальная составляющая.

Компоненты напряжений определяются следующими соотношениями:

$$\begin{cases} \sigma_r = \frac{E(1-2\nu)}{1+\nu} ((1-\nu)\epsilon_r + \nu(\epsilon_\theta + \epsilon_z)), \\ \sigma_\theta = \frac{E(1-2\nu)}{1+\nu} ((1-\nu)\epsilon_\theta + \nu(\epsilon_r + \epsilon_z)), \\ \sigma_z = \frac{E(1-2\nu)}{1+\nu} ((1-\nu)\epsilon_z + \nu(\epsilon_\theta + \epsilon_r)), \\ \tau_{rz} = \frac{E}{1+\nu} \epsilon_{rz}, \end{cases} \quad (3)$$

где  $E$  — модуль упругости при растяжении и сжатии,  $\nu$  — коэффициент Пуассона.

Подставляя компоненты деформации из системы (2) в систему (3), а затем подставляя компоненты напряжений из соотношений (3) в соотношения (1), получаем систему уравнений следующего вида:

$$\begin{cases} \frac{1}{2} \left( \frac{\partial^2 u}{\partial z \partial r} + \frac{\partial^2 w}{\partial r^2} \right) + \frac{1}{2r} \left( \frac{\partial u}{\partial z} + \frac{\partial w}{\partial r} \right) + \\ + (1-2\nu) \left[ (1-\nu) \frac{\partial^2 w}{\partial z^2} + \nu \left( \frac{\partial u}{\partial z} \frac{1}{r} + \frac{\partial^2 u}{\partial r \partial z} \right) \right] = 0, \\ \frac{1}{2} \left( \frac{\partial^2 u}{\partial z^2} + \frac{\partial^2 w}{\partial r \partial z} \right) + (1-2\nu) \left[ \nu \frac{\partial^2 w}{\partial r \partial z} + (1-\nu) \left( \frac{\partial^2 u}{\partial r^2} + \frac{\partial u}{r \partial r} - \frac{u}{r^2} \right) \right] = 0. \end{cases} \quad (4)$$

В силу симметрии относительно центральной вертикальной оси, для исследования изменения положения частиц слоёв достаточно рассмотреть одно сечение (рис. 1).

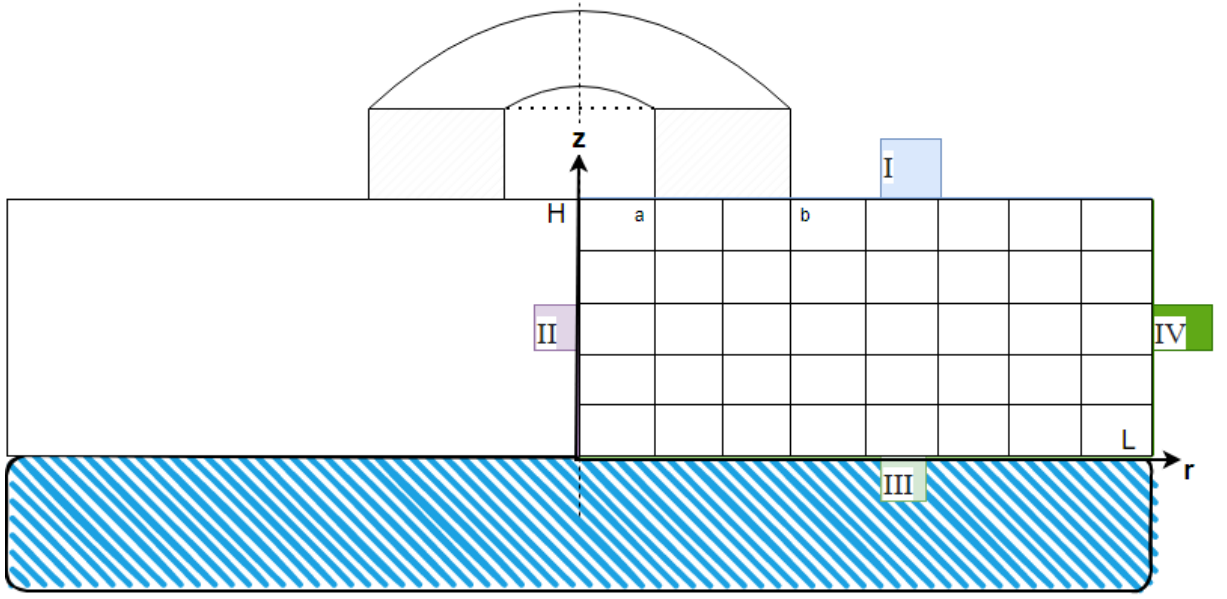


Рис. 1. Вертикальный разрез.

### 1.2. Задание граничных условий

Рассмотрим верхнюю грань (I): в области взаимодействия штампа и слоя известны вертикальные перемещения грани. Вне области контакта поверхность свободна от напряжений. Тогда граничные условия будут такие:

$$(I): \begin{cases} w|_{z=h} = -\delta, & r \in [a, b], \\ \sigma_r|_{z=h} = 0, & r \notin [a, b], \\ \tau_{rz}|_{z=h} = 0, & r \geq 0. \end{cases} \quad (5)$$

В силу симметрии на оси  $z$  выполняются следующие условия

$$(II): \begin{cases} \tau_{rz}|_{r=0} = 0, & z \in [0, H], \\ u|_{r=0} = 0, & z \in [0, H]. \end{cases} \quad (6)$$

Пусть снизу задан идеальный контакт. Тогда верны граничные условия

$$(III): \begin{cases} u|_{z=0} = 0, & r \geq 0, \\ w|_{z=0} = 0, & r \geq 0. \end{cases} \quad (7)$$

На достаточном удалении от области взаимодействия

$$(IV): u, w \rightarrow 0 \text{ при } r \rightarrow \infty, \quad z \in [0, H]. \quad (8)$$

Таким образом мы получили систему двух дифференциальных уравнений второго порядка в частных производных (4) и восемь граничных условий (5)–(8):

$$\left\{ \begin{array}{l}
\frac{1}{2} \left( \frac{\partial^2 u}{\partial r \partial z} + \frac{\partial^2 w}{\partial r^2} \right) + \frac{1}{2r} \left( \frac{\partial u}{\partial z} + \frac{\partial w}{\partial r} \right) + \\
+ (1 - 2\nu) \left[ (1 - \nu) \frac{\partial^2 w}{\partial z^2} + \nu \left( \frac{\partial u}{\partial z} \frac{1}{r} + \frac{\partial^2 u}{\partial r \partial z} \right) \right] = 0, \\
\frac{1}{2} \left( \frac{\partial^2 u}{\partial z^2} + \frac{\partial^2 w}{\partial r \partial z} \right) + (1 - 2\nu) \left[ \nu \frac{\partial^2 w}{\partial r \partial z} + (1 - \nu) \left( \frac{\partial^2 u}{\partial r^2} + \frac{\partial u}{r \partial r} - \frac{u}{r^2} \right) \right] = 0, \\
w|_{z=h} = -\delta, \quad r \in [a, b], \\
\sigma_z|_{z=h} = 0, \quad r \notin [a, b], \\
\tau_{rz}|_{z=h} = 0, \quad r \geq 0, \\
\tau_{rz}|_{r=0} = u|_{r=0} = 0, \quad z \in [0, H], \\
u|_{z=0} = w|_{z=0} = 0, \quad r \geq 0, \\
\lim_{r \rightarrow \infty} u = 0, \quad \lim_{r \rightarrow \infty} w = 0, \quad z \in [0, H].
\end{array} \right. \quad (9)$$

## 2. Преобразование системы, получение разностной схемы

Преобразуем систему (9), построив для каждого дифференциального уравнения разностную схему; выразим граничные условия через функции  $u(r, z)$ ,  $w(r, z)$ , а также упростим граничные условия.

Для упрощения последних граничных условий системы (9) допустимо применить принцип Сен-Венана.

### Принцип Сен-Венана

Если размеры области приложения внешней нагрузки невелики по сравнению с размерами слоя, то в точках, достаточно удаленных от места взаимодействия, напряжения, деформации и перемещения мало зависят от приложенной нагрузки.

Область:

$$(r, z) \in \Omega = [0, L] \times [0, H].$$

Сетка:

$$\Omega_h = \{ (r_i, z_j) \mid r_i = i h_r, z_j = j h_z, i = \overline{0, N}, j = \overline{0, M} \},$$

где  $h_r = \frac{L}{N}, \quad h_z = \frac{H}{M}.$

Переход к сеточным функциям:

$$u_{ij} = u(r_i, z_j), \quad w_{ij} = w(r_i, z_j).$$

При создании разностной схемы для дифференциальных уравнений возьмём девятиточечный шаблон: крест с угловыми точками. Аппроксимируем первые производные центральными разностными производными, вторые производные по одной координате аппроксимируем как отношение приращения функции к приращению аргумента, где в качестве функции выступает аппроксимация первой производной, для аппроксимации смешанной производной воспользуемся угловыми точками девятиточечного шаблона.

$$\left\{ \begin{array}{l} \frac{\partial u}{\partial r} = \frac{u_{i+1,j} - u_{i-1,j}}{2h_r}, \quad \frac{\partial w}{\partial r} = \frac{w_{i+1,j} - w_{i-1,j}}{2h_r}, \quad i = \overline{1, N-1}, j = \overline{0, M}, \\ \frac{\partial u}{\partial z} = \frac{u_{i,j+1} - u_{i,j-1}}{2h_z}, \quad \frac{\partial w}{\partial z} = \frac{w_{i,j+1} - w_{i,j-1}}{2h_z}, \quad i = \overline{0, N}, j = \overline{1, M-1}, \\ \frac{\partial^2 u}{\partial r^2} = \frac{u_{i+1,j} - 2u_{i,j} + u_{i-1,j}}{h_r}, \quad \frac{\partial^2 w}{\partial r^2} = \frac{w_{i+1,j} - 2w_{i,j} + w_{i-1,j}}{h_r}, \quad i = \overline{1, N-1}, j = \overline{0, M}, \\ \frac{\partial^2 u}{\partial z^2} = \frac{u_{i,j+1} - 2u_{i,j} + u_{i,j-1}}{h_z}, \quad \frac{\partial^2 w}{\partial z^2} = \frac{w_{i,j+1} - 2w_{i,j} + w_{i,j-1}}{h_z}, \quad i = \overline{0, N}, j = \overline{1, M-1}, \\ \frac{\partial^2 u}{\partial r \partial z} = \frac{u_{i+1,j+1} - u_{i+1,j-1} - u_{i-1,j+1} + u_{i-1,j-1}}{4h_z h_r}, \quad i = \overline{1, N-1}, j = \overline{1, M-1}, \\ \frac{\partial^2 w}{\partial r \partial z} = \frac{w_{i+1,j+1} - w_{i+1,j-1} - w_{i-1,j+1} + w_{i-1,j-1}}{4h_z h_r}, \quad i = \overline{1, N-1}, j = \overline{1, M-1}. \end{array} \right.$$

Выразим компоненты касательного напряжения  $\tau_{rz}$  через компоненты перемещений  $\tau_{rz} = \frac{E}{2(1+\nu)} \left( \frac{\partial u}{\partial z} + \frac{\partial w}{\partial r} \right)$  и аппроксимируем производную по  $z$  в верхней точке  $z = h$  левой разностью, производную по  $r$  в левой точке правой разностью, а остальные производные центральной разностью. Возьмём в качестве материала упругого слоя пластик. В таком случае коэффициент Пуассона  $\nu = 0.3$ , модуль упругости при растяжении/сжатии  $E = 17$  ГПа. Возьмём расстояния от центральной оси до краёв давления шайбы равными  $a = 0.5$ ,  $b = 1.5$  (длина отрезка  $b - a = 1$  см). Исходя из принципа Сен-Венана, при достаточно большом удалении от места нагрузки (возьмём  $L = 10$  см) перемещения достаточно малы, т. е.  $u|_{r=10} = 0$ ,  $w|_{r=10} = 0$  ( $z \in [0, H]$ ).

Граничные условия:

Слева:  $u|_{r=0} = u_{0j} = 0, \quad j = \overline{0, M},$

$$\tau_{rz}|_{r=0} = \frac{u_{0,j+1} - u_{0,j-1}}{2h_z} + \frac{w_{1,j} - w_{0,j}}{h_r} = 0, \quad j = \overline{1, M-1},$$

Справа:  $u|_{r=L} = u|_{r=10} = u_{Nj} = 0, \quad w|_{r=L} = w|_{r=10} = w_{Nj} = 0, \quad j = \overline{0, M}$

Снизу:  $u|_{z=0} = u_{i0} = 0, \quad w|_{z=0} = w_{i0} = 0, \quad i = \overline{0, N},$

Сверху:  $w|_{z=H} = w_{iM} = -\delta, \quad i = \overline{N_1, N_2},$  где  $N_1 = \frac{a}{h_r}, \quad N_2 = \frac{b}{h_r},$

$$\sigma_z|_{z=H} = \frac{E(1-2\nu)}{1+\nu} \left[ (1-\nu) \frac{w_{i,M} - w_{i,M-1}}{h_z} + \nu \left( \frac{u_{i,M}}{ih_r} + \frac{u_{i+1,M} - u_{i-1,M}}{2h_r} \right) \right] = 0,$$

$$i = \overline{1, N_1-1} \cup \overline{N_2+1, N-1}, \quad \text{где } N_1 = \frac{a}{h_r}, \quad N_2 = \frac{b}{h_r},$$

$$\tau_{rz}|_{z=H} = \frac{u_{i,M} - u_{i,M-1}}{h_z} + \frac{w_{i+1,M} - w_{i-1,M}}{2h_r} = 0, \quad i = \overline{1, N-1}.$$

Тогда система (9) примет вид:

$$\left\{ \begin{array}{l} u_{i-1,j-1} \frac{-0.155}{h_r h_z} + u_{i,j-1} \frac{-0.06}{r_i h_z^2} + u_{i+1,j-1} \frac{-0.155}{h_r h_z} + \\ + u_{i-1,j+1} \frac{-0.155}{h_r h_z} + u_{i,j+1} \frac{0.06}{r_i h_z^2} + u_{i+1,j+1} \frac{0.155}{h_r h_z} + \\ + w_{i,j-1} \left( \frac{-0.25}{r_i h_z} + \frac{0.28}{h_z^2} \right) + w_{i-1,j} \left( \frac{-0.25}{h_z^2} + \frac{0.5}{h_r^2} \right) + w_{i,j} \left( \frac{-0.56}{r_i h_r} + \frac{-1}{h_r^2} \right) + \\ + w_{i-1,j} \left( \frac{0.25}{r_i h_r} + \frac{0.5}{h_r^2} \right) + w_{i-1,j} \left( \frac{0.25}{r_i h_r} + \frac{0.5}{h_r^2} \right) = 0, \quad i = \overline{1, N-1}, \quad j = \overline{1, M-1}, \\ u_{i,j-1} \frac{0.5}{h_z^2} + u_{i-1,j} \left( \frac{0.28}{h_r^2} - \frac{0.14}{h_r} \right) + u_{i,j} \left( \frac{-0.28}{r_i^2} + \frac{-1}{h_z^2} + \frac{-0.56}{h_r^2} \right) + \\ + u_{i+1,j} \left( \frac{0.28}{h_r^2} + \frac{0.14}{h_r} \right) + u_{i,j+1} \frac{0.5}{h_z^2} = 0, \quad i = \overline{1, N-1}, \quad j = \overline{1, M-1}, \\ w|_{z=H} = w_{iM} = -\delta, \quad r \in [a, b], \quad i = \overline{N_1, N_2}, \\ \sigma_z|_{z=H} = \frac{E(1-2\nu)}{1+\nu} \left[ (1-\nu) \frac{w_{i,M} - w_{i,M-1}}{h_z} + \nu \left( \frac{u_{i,M}}{ih_r} + \frac{u_{i+1,M} - u_{i-1,M}}{2h_r} \right) \right] = 0, \\ i = \overline{1, N_1-1} \cup \overline{N_2+1, N-1}, \\ \tau_{rz}|_{z=H} = \frac{u_{i,M} - u_{i,M-1}}{h_z} + \frac{w_{i+1,M} - w_{i-1,M}}{2h_r} = 0, \quad i = \overline{1, N-1}, \\ \tau_{rz}|_{r=0} = \frac{u_{0,j+1} - u_{0,j-1}}{2h_z} + \frac{w_{1,j} - w_{0,j}}{h_r} = 0, \quad j = \overline{1, M-1}, \\ u|_{r=0} = u|_{0,j} = 0, \quad j = \overline{0, M}, \\ u|_{z=0} = w|_{z=0} = u|_{i,0} = w|_{i,0} = 0, \quad i = \overline{0, N}, \\ u|_{r=10} = w|_{r=10} = u|_{L,j} = w|_{L,j} = 0, \quad j = \overline{0, M}. \end{array} \right. \quad (10)$$



Искомые значения функции  $u$ :

$$\begin{aligned} i &= \overline{0, N}, \quad j = \overline{0, M}, \\ U &= (u_{0,0}, u_{0,1}, \dots, u_{0,M}, \quad u_{1,0}, u_{1,1}, \dots, u_{1,M}, \quad \dots, \\ &\quad u_{N,0}, u_{N,1}, \dots, u_{N,M})^T, \\ \dim U &= (N+1)(M+1). \end{aligned}$$

Искомые значения функции  $w$ :

$$\begin{aligned} i &= \overline{0, N}, \quad j = \overline{0, M}, \\ W &= (w_{0,0}, w_{0,1}, \dots, w_{0,M}, \dots, \\ &\quad w_{N,0}, w_{N,1}, \dots, w_{N,M})^T, \\ \dim W &= (N+1)(M+1). \end{aligned}$$

Искомые значения в целом:

$$\begin{aligned} X &= (U, W)^T, \\ \dim X &= \dim U + \dim W = 2(N+1)(M+1) = 2 + 2M + 2N + 2MN; \\ X &= (X_1, X_2, \dots, X_K)^T, \text{ где } K = \dim X = 2 + 2M + 2N + 2MN. \end{aligned}$$

Переход от обозначений  $u_{ij}$  и  $w_{ij}$  к обозначению  $X_k$ :

$$u_{ij} = X_{i(M+1)+j+1}, \quad w_{ij} = X_{(N+1)(M+1)+i(M+1)+j+1}.$$

Учитывая это, преобразуем систему (10) к такому виду:

$$\left\{ \begin{aligned}
 & X_{(i-2)M+j-1} \frac{-0.155}{h_r h_z} + X_{(i-1)M+j-1} \frac{-0.06}{r h_z^2} + X_{iM+j-1} \frac{-0.155}{h_r h_z} + \\
 & + X_{(i-2)M+j+1} \frac{-0.155}{h_r h_z} + X_{(i-1)M+j+1} \frac{0.06}{r h_z} + X_{iM+j+1} \frac{0.155}{h_r h_z} + \\
 & + X_{(N-1)M+(i-1)(M-1)+j-1} \left( \frac{-0.25}{r h_z} + \frac{0.28}{h_z^2} \right) + \\
 & + X_{(N-1)M+(i-1)(M-1)+j} \left( \frac{-0.25}{r h_r} + \frac{0.5}{h_r^2} \right) + \\
 & + X_{(N-1)M+i(M-1)+j} \left( \frac{-0.56}{h_z^2} + \frac{-1}{h_r^2} \right) + X_{(N-1)M+(i+1)(M-1)+j} \left( \frac{0.25}{r h_r} + \frac{0.5}{h_r^2} \right) + \\
 & + X_{(N-1)M+i(M-1)+j+1} \left( \frac{0.25}{r h_z} + \frac{0.28}{h_z^2} \right) = 0, \quad i = \overline{1, N-1}, \quad j = \overline{1, M-1}, \\
 & X_{(i-1)M+j-1} \frac{0.5}{h_z^2} + X_{(i-2)M+j} \left( \frac{0.28}{h_r^2} - \frac{0.14r}{h_r} \right) + \\
 & + X_{(i-1)M+j} \left( \frac{-0.28}{r^2} + \frac{-1}{h_z^2} + \frac{-0.56}{h_r^2} \right) + X_{iM+j} \left( \frac{0.28}{h_r^2} + \frac{0.14r}{h_r} \right) + \\
 & + X_{(i-1)M+j+1} \frac{0.5}{h_z^2} + 0, 155(X_{(N-1)M+(i-1)(M-1)+j-1} - \\
 & - X_{(N-1)M+(i+1)(M-1)+j-1} + X_{(N-1)M+(i+1)(M-1)+j+1} - \\
 & - X_{(N-1)M+(i-1)(M-1)+j+1}) = 0, \quad i = \overline{1, N-1}, \quad j = \overline{1, M-1}, \\
 & X_{NM+i(M-1)} = -\delta, \quad i = \overline{N_1, N_2}, \quad \text{где } N_1 = \frac{a}{h_r}, \quad N_2 = \frac{b}{h_r}, \\
 & \frac{X_{iM} - X_{iM-1}}{h_z} + \frac{X_{NM+(i+1)(M-1)} - X_{NM+(i-1)(M-1)}}{2h_r} = 0, \quad i = \overline{1, N-1}, \\
 & \frac{X_{-M+j+1} - X_{-M+j-1}}{2h_z} + \frac{X_{NM-1+j} - X_{(N-1)M+j}}{h_r} = 0, \quad j = \overline{1, M-1}, \\
 & X_{-M+j} = 0, \quad j = \overline{0, M}, \\
 & X_{(i-1)M} = X_{(N-1)M+i(M-1)} = 0, \quad i = \overline{0, N}, \\
 & X_{(N-1)M+j} = X_{(N-1)M+N(M-1)+j} = 0, \quad j = \overline{0, M}.
 \end{aligned} \right. \quad (11)$$

### 2.1. Визуализация результатов

Результаты расчётов представлены на рис. 2—5:

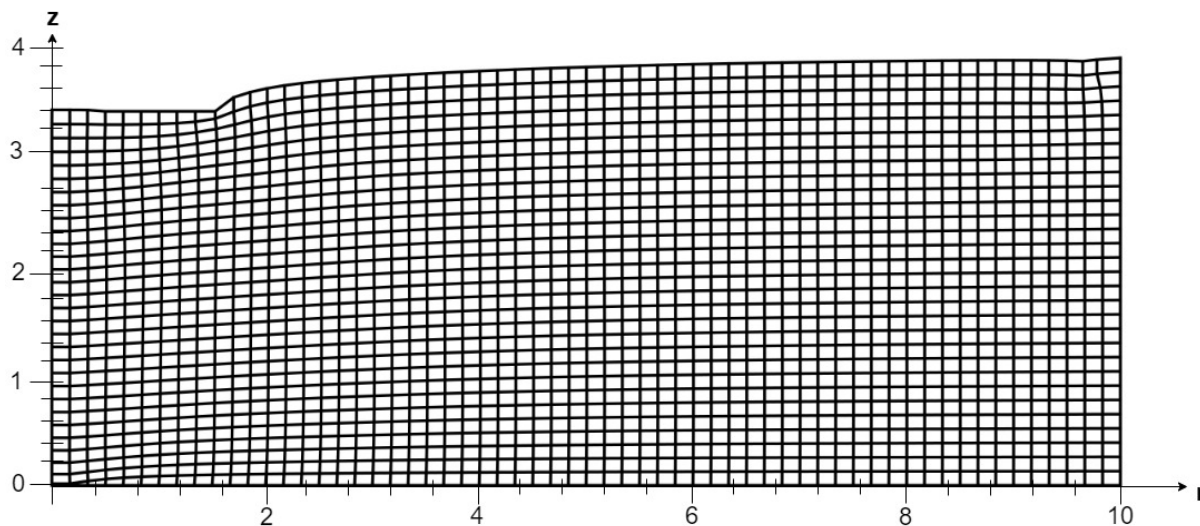


Рис. 2. График нового положения частиц при  $h_r = 1/6, h_z = 2/15$ .

На представленных графиках положительные напряжения являются растягивающими, а отрицательные напряжения являются сжимающими.

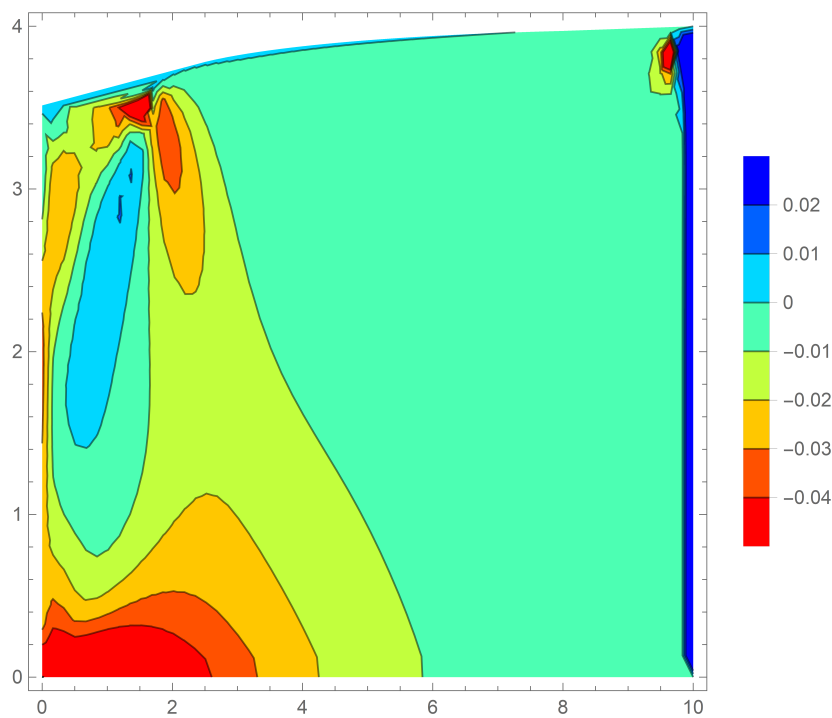
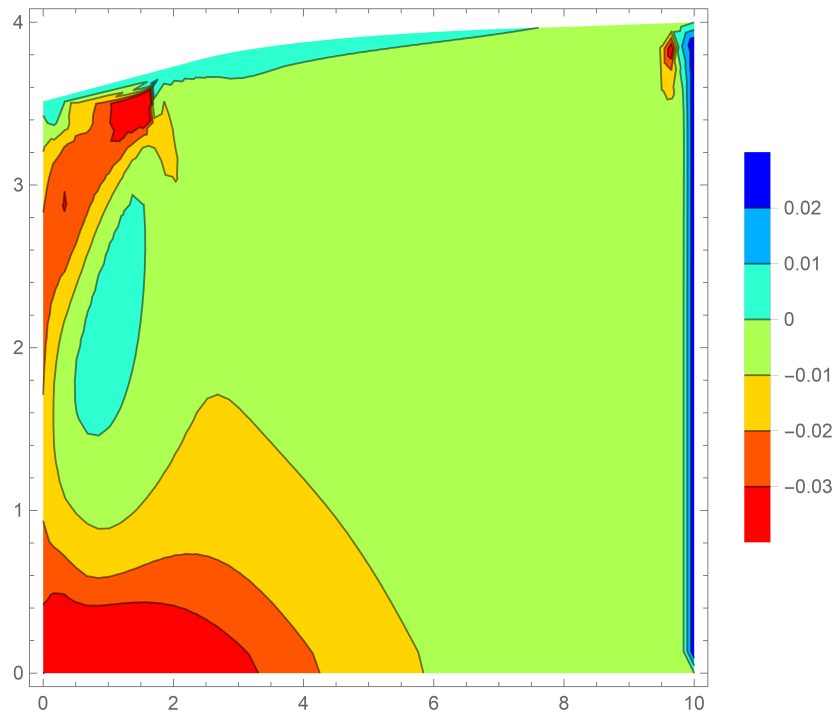
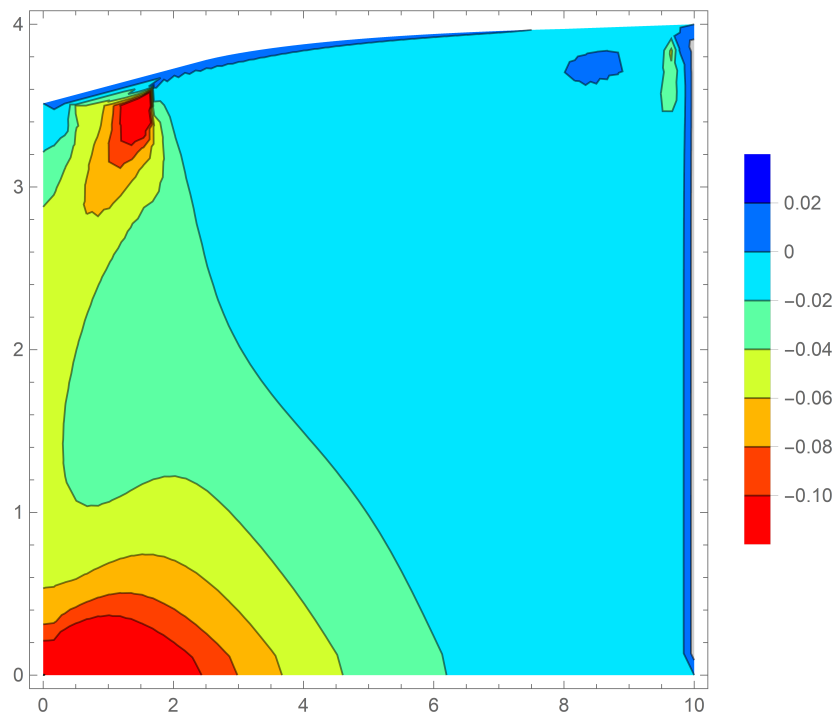


Рис. 3. Графики напряжений  $\sigma_r$ .

Рис. 4. Графики напряжений  $\sigma_\theta$ .Рис. 5. Графики напряжений  $\sigma_z$ .

Как видно из трёх последних графиков, растягивающие напряжения наибольшие в области соприкосновения шайбы со слоем, а также в области у начала координат.

## Вывод

В данной курсовой работе была рассмотрена задача о напряжённо-деформированном состоянии упругого слоя при воздействии на него жёсткого штампа с плоским основанием. Из визуализации полученного решения системы (11) можно сделать вывод, что деформации вблизи места приложения нагрузки наибольшие, а при отдалении от места приложения нагрузки деформации уменьшаются, а значит при отдалении от штампа уменьшаются перемещения и напряжения.

## Список использованных источников

1. Тимошенко С. П., Гудьер Дж., Теория упругости. М.: Наука. Главная редакция физико-математической литературы. 1979. 560 с.
2. М. П. Галанин, Е. Б. Савенков. Методы численного анализа математических моделей (2-е изд., исправленное). М.: Изд-во МГТУ им. Н. Э. Баумана. 2018. 592 с.